

06; 07

© 1990 г.

**ПРЕОБРАЗОВАНИЕ МОД В ПЛАНАРНОМ ВОЛНОВОДЕ  
НА ОСНОВЕ ФОТОРЕФРАКТИВНОЙ СРЕДЫ  
КЕРРОВСКОГО ТИПА**

*Э. А. Сморгонская, Е. И. Шифрин*

Проведен анализ явления преобразования мод, связанного с нелинейными оптическими свойствами планарного волновода. Рассмотрена нелинейная среда керровского типа, в которой при распространении света происходит изотропное изменение показателя преломления, пропорциональное квадрату напряженности электрического поля световой волны. Для  $TE_0$ -волны получены выражения, позволяющие рассчитывать интенсивность всех направляемых и излучательных мод, возникающих при одномодовом возбуждении. Численные расчеты выполнены для волновода на основе стеклообразного полупроводника  $As_2S_3$ , обладающего значительным по величине эффектом фототрехфракции (соответствующее значение коэффициента нелинейности  $n_2 \sim 10^{-7} \text{ см}^2/\text{Вт}$  при  $\lambda=0.63 \text{ мкм}$ ). Полученные результаты качественно согласуются с экспериментальными данными.

### Введение

В работе [1] была высказана идея и создан на основе полупроводниковой нелинейно-оптической среды планарный волновод с дифракционной решеткой, обладающий оптической бистабильностью. Благодаря резонансным свойствам волновода в нем удается реализовать интенсивность света, достаточную для такого изменения показателя преломления  $\Delta n$ , которое обеспечивает переключение из одного состояния пропускания в другое. В [1] было показано, что в случае волновода на Si, обладающем оптической нелинейностью керровского типа

$$\Delta n \sim [n_2 |E|]^2, \quad (1)$$

где  $E$  — напряженность электрического поля световой волны в волноводе,  $n_2$  — коэффициент нелинейности, и кубической восприимчивостью  $\chi^{(3)} \sim 10^{-8}$  ед. CGSE на длине волны  $\lambda=1.06 \text{ мкм}$  при оптимальных геометрических параметрах оптическое переключение происходит при интенсивности падающего света  $1 \text{ МВт/см}^2$ . Однако если условия для наблюдения бистабильности в волноводе не достигаются (недостаточно резкий контур ввода излучения по углу или не столь высока интенсивность возбуждения), то в среде с высоким значением  $n_2$  или  $\chi^{(3)}$  можно ожидать других проявлений нелинейно-оптических свойств, в частности эффекта преобразования мод за счет фототрехфракции (ФР). Действительно, при исследовании распространения света в планарном волноводе на основе стеклообразного халькогенидного полупроводника (ХСП)  $As_2S_3$  [2] была обнаружена передача мощности от возбуждаемой  $TE_1$ -моды в побочные  $TE_0$ - и  $TE_2$ -моды, зависящая от интенсивности возбуждения. В то же время, как было показано в [3, 4], благодаря высокой плотности локализованных состояний в запрещенной зоне ХСП обладают значительными по величине эффектами ФР и фотопоглощения. В области слабой дисперсии величина  $n_2$  пропорциональна коэффициенту поглощения, так что при  $\lambda=0.63 \text{ мкм}$  в  $As_2S_3$   $n_2 \sim 10^{-7} \text{ см}^2/\text{Вт}$  [4].

В настоящей работе проводится теоретический анализ явления преобразования мод в нелинейном планарном волноводе (НПВ) на основе керровской фототрехфракции.

рефрактивной среды. Конкретные расчеты выполнены для НПВ из  $\text{As}_2\text{S}_3$ . Это связано с тем, что волноводные свойства ХСП интенсивно исследуются экспериментально [5], так как эти материалы считаются перспективными для создания элементов интегральной оптики ИК диапазона.

### Основные соотношения

Физическая сущность фоторефрактивного механизма преобразования мод состоит в следующем. При вводе излучения в НПВ толщиной  $\sim 1-2 \text{ мкм}$  на его входе формируется электромагнитное поле достаточно высокой напряженности, так что свет испытывает самовоздействие из-за модуляции показателя преломления, пропорциональной квадрату амплитуды поля в данной точке НПВ (составление (1)). ФР приводит к перераспределению поля внутри и вне волноводной пленки. Однако при распространении света в НПВ имеет место заметное затухание: в  $\text{As}_2\text{S}_3$  коэффициент затухания  $D \geq 3 \text{ дБ/см}$ , так что связанные

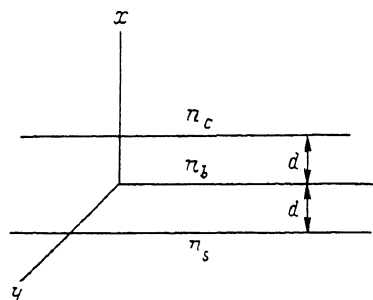


Рис. 1. Схема рассматриваемого планарного волновода.

с ФР перераспределение поля происходит лишь на небольшом участке в области ввода; вдали же от него НПВ можно считать невозмущенным (линейным). Искаженная на начальном участке световая волна, попадая в невозмущенный участок, распадается на моды невозмущенного волновода, которые и регистрируются на выходе НПВ. Преобразование мод в НПВ происходит на конечном участке пути распространения, где величина  $\Delta n$  изменяется от своего максимального значения до нуля. Точный анализ эффекта преобразования мод поэтому представляет собой непростую задачу. Разумные же оценки эффекта можно получить при решении упрощенной модельной задачи, что и делается в настоящей работе.

Пусть искаженная за счет ФР мода НПВ падает на невозмущенный участок, собственные моды которого, как известно, образуют полную ортонормированную систему функций [6]. Если распределение поля в искаженной моде найдено, то его можно представить в виде разложения по собственным модам невозмущенного волновода. Квадраты соответствующих коэффициентов разложения определяют долю мощности, регистрируемую в данной моде на выходе НПВ.

На рис. 1 приведена схема НПВ, представляющего собой пленку полупроводника толщиной  $h=2d$  с показателем преломления  $n_f$ , помещенную между толстыми диэлектрической подложкой и покровным слоем с показателями преломления  $n_s$  и  $n_c$  соответственно. Потери на поглощение не рассматриваются:  $n_f$ ,  $n_s$  и  $n_c$  вещественны. Ограничимся также рассмотрением лишь  $TE$ -волн, для которых отлична от нуля лишь  $y$ -компоненты вектора  $E$ :  $E_y \neq 0$ . Будем считать, что материал пленки оптически изотропен, так что возникающая в ней благодаря ФР нелинейная поляризация не меняет характер  $TE$ -волны. Тогда волновое уравнение, описывающее поле в НПВ с ФР кееровского типа, имеет вид (магнитная проницаемость  $\mu=1$ )

$$\nabla^2 E_y^{(NL)} = \frac{1}{c^2} \frac{\partial}{\partial t} (\epsilon + \chi^{(3)} |E_y^{(NL)}|^2) E_y^{(NL)}, \quad (2)$$

где линейная диэлектрическая проницаемость  $\epsilon$  определена как  $\epsilon = n_c^2$  при  $x > d$ ,  $\epsilon = n_{f0}^2$  при  $-d \leq x \leq d$  и  $\epsilon = n_s^2$  при  $x < -d$ . Нелинейная восприимчивость  $\chi^{(3)} = 0$  при  $|x| > d$  и  $\chi^{(3)} = \chi_f^{(3)}$  при  $|x| \leq d$ .

Решение (2) ищем в виде распространяющейся в направлении  $z$  волны

$$E_y^{(NL)} = E_y^{(NL)}(x) e^{i(\omega t - \beta z)}, \quad (3)$$

где  $E_y^{(NL)}(z)$  — амплитуда поля,  $\omega$  — частота света,  $\beta$  — постоянная распространения.

Подставляя (3) в (2), получим уравнение для  $E^{(NL)}(x)$

$$\frac{\partial^2 E^{(NL)}}{\partial x^2} + (k^2 n^2 - \beta^2) E^{(NL)} + \alpha E^{(NL)3} = 0, \quad (4)$$

где  $k^2 = \omega^2/c^2$ ,  $n$  — линейный показатель преломления,  $\alpha = \chi^{(3)} \omega^2/c^2$ .

Границные условия непрерывности поля и его производной в направлении  $x$ , перпендикулярном плоскости пленки, имеют вид

$$E_f = E_c; \quad \frac{\partial E_f}{\partial x} = \frac{\partial E_c}{\partial x} \quad \text{при } x = d, \quad (5a)$$

$$E_f = E_s; \quad \frac{\partial E_f}{\partial x} = \frac{\partial E_s}{\partial x} \quad \text{при } x = -d. \quad (5b)$$

Уравнение (4) в области  $|x| \leq d$  по форме совершенно аналогично известному уравнению одномерного ангармонического осциллятора с кубической возвращающей силой [7]. Поэтому решение его естественно искать методом последовательных приближений. В качестве нулевого приближения возьмем решение, соответствующее направляемой моде с номером  $v$  в отсутствие ФР,

$$E_v(x) = \begin{cases} E_{fv} = A_v \cos(\zeta_v x + \varphi_v), & |x| \leq d, \\ E_{cv} = A_v \cos(\zeta_v d + \varphi_v) e^{-\gamma_{cv}(x-d)}, & x > d, \\ E_{sv} = A_v \cos(\zeta_v d - \varphi_v) e^{\gamma_{sv}(x+d)}, & x < -d, \end{cases} \quad (6)$$

где  $A_v$  — амплитудный коэффициент,  $\varphi_v$  — фазовый сдвиг.

Пространственные постоянные распространения определены обычным образом

$$\zeta_v^2 = k^2 n_{f0}^2 - \beta_v^2, \quad (7a)$$

$$\gamma_{cv}^2 = \beta_v^2 - k^2 n_c^2, \quad (7b)$$

$$\gamma_{sv}^2 = \beta_v^2 - k^2 n_s^2. \quad (7v)$$

Границные условия (5a), (5b) дают выражения, из которых определяются постоянные распространения  $\beta_v$  и соответствующие сдвиги фаз  $\varphi_v$ ,

$$2\zeta_v d - \arctg \frac{\gamma_{cv}}{\zeta_v} - \arctg \frac{\gamma_{sv}}{\zeta_v} = v\pi, \quad (8)$$

$$\varphi_v = \frac{1}{2} \left( \arctg \frac{\gamma_{cv}}{\zeta_v} - \arctg \frac{\gamma_{sv}}{\zeta_v} \right) + (-1)^v \frac{\pi}{2} v. \quad (9)$$

Следует отметить, что для симметричного волновода, когда  $n_c = n_s$ ,  $\varphi_v = -(-1)^v (\pi/2)v$  и моды волновода являются либо четными, либо нечетными функциями  $x$  (четные и нечетные моды соответственно).

Пользуясь результатами [7], запишем решение уравнения (4) во втором приближении для  $v$ -й моды

$$E_v^{(NL)}(x) = \begin{cases} E_{fv}^{(NL)} = A_v \cos[(\zeta_v + \Delta\zeta_v)x + \varphi_v + \Delta\varphi_v] + \\ + \frac{\alpha_f A_v^3}{32\zeta_v^3} \cos[3(\zeta_v + \Delta\zeta_v) + 3(\varphi_v + \Delta\varphi_v)], & |x| \leq d, \end{cases} \quad (10a)$$

$$E_{cv}^{(NL)} = E_{fv}^{(NL)}(d) e^{-(\gamma_{cv} + \Delta\gamma_{cv})(x-d)}, \quad x > d, \quad (10b)$$

$$E_{sv}^{(NL)} = E_{fv}^{(NL)}(-d) e^{(\gamma_{sv} - \Delta\gamma_{sv})(x+d)}, \quad x < -d. \quad (10v)$$

Здесь  $\Delta\zeta_v \ll \zeta_v$  — связанное с ФР изменение пространственной постоянной распространения  $\zeta_v$ ,  $v$ -й моды поля внутри НПВ.

Величина этого изменения пропорциональна квадрату амплитуды поля

$$\Delta\zeta_v = \frac{3\alpha_f A_v^2}{8\zeta_v}. \quad (11)$$

Изменения пространственных постоянных вне фоторефрактивной пленки  $\Delta\gamma_{cv}$  и  $\Delta\gamma_{sv}$ , а также фазового сдвига  $\Delta\varphi$ , определяются из граничных условий (5а), (5б), которым должно удовлетворять решение (10). Соотношения между  $\Delta\gamma_{cv}$ ,  $\Delta\gamma_{sv}$ ,  $\Delta\varphi$ , и  $\Delta\kappa$ , легко получаются дифференцированием выражений (8), (9) с использованием (7)

$$\Delta\gamma_{cv} = \left(2d + \frac{\gamma_{cv}}{z_v^2 + \gamma_{cv}^2} + \frac{\gamma_{sv}}{z_v^2 + \gamma_{sv}^2}\right) \left(\frac{1}{z_v^2 + \gamma_{cv}^2} + \frac{1}{z_v^2 + \gamma_{sv}^2} - \frac{\gamma_{cv}}{\gamma_{sv}}\right)^{-1} \frac{\Delta z_v}{z_v}, \quad (12)$$

$$\Delta\gamma_{sv} = \frac{\gamma_{cv}}{\gamma_{sv}} \Delta\gamma_{cv}, \quad (13)$$

$$\Delta\varphi_v = -\left(d + \frac{\gamma_{cv}}{z_v^2 + \gamma_{cv}^2}\right) \Delta\kappa_v + \frac{z_v}{z_v^2 + \gamma_{cv}^2} \Delta\gamma_{cv}. \quad (14)$$

Амплитудный коэффициент определяется, как обычно, из условия нормировки по интенсивности света  $P_v$ , переносимой данной модой по волноводу в направлении  $z$  через единицу его ширины в направлении  $y$  [6],

$$A_v = \left\{ \frac{16\pi\omega P_v}{c^2\beta_v \left[ d + \frac{1}{2} (\gamma_c^{-1} + \gamma_s^{-1}) \right]} \right\}^{1/2}. \quad (15)$$

Выражения (10) с учетом (11)–(15) описывают распределение поля световой волны в  $TE$ -моде, сформировавшейся на входе НПВ с ФР керровского типа. Здесь уместно отметить, что в работе [1] детально решалась задача о вводе излучения в НПВ керровского типа через дифракционную решетку. Для амплитуды поля в [1] получалось вместо уравнения (4) нелинейное дифференциальное уравнение в частных производных 2-го порядка ( $E_y$  зависело от  $x$  и  $z$ ), которое решалось путем итераций. В нашем же случае предполагается, что в НПВ каким-то способом уже сформировалась бегущая волна (3), амплитуда которой в отсутствие поглощения не зависит от  $z$ .

Теперь поле направляемой  $TE$ -моды НПВ представим в виде суперпозиции мод линейного волновода без ФР. Разложение  $E_v^{(NL)}$  ( $x$ ) должно включать суммирование по направляемым модам невозмущенного волновода  $E_\mu(x)$  с дискретным индексом  $\mu$  и по излучательным подложковым  $E^{(s)}(\rho, x)$  и подложко-покровным модам  $E^{(sc)}(\rho, x)$  с непрерывным индексом  $\rho$

$$E_v^{(NL)} = \sum_\mu C_{v\mu} E_\mu + \int q_v^s(\rho) E^{(s)}(\rho) d\rho + \int q_v^{sc}(\rho) E^{(sc)}(\rho) d\rho, \quad (16)$$

$C_{v\mu}$ ,  $q_v^s(\rho)$  и  $q_v^{sc}(\rho)$  — соответствующие коэффициенты разложения, вычисляемые по формулам [6]

$$C_{v\mu} = \frac{4\pi\beta_\mu}{\omega c^2 P_v} \int_{-\infty}^{\infty} E_v^{(NL)} E_\mu^* dx, \quad (17)$$

$$q_v^{s, sc}(\rho) = \frac{4\pi\beta}{\omega c^2 P_v} \int_{-\infty}^{\infty} E_v^{(NL)} E^{(s, sc)*}(\rho) dx. \quad (18)$$

Пределы интегрирования по  $\rho$  в (16) и далее определяются диапазонами изменения постоянной распространения  $\beta$  для подложковых мод  $kn_c \leq \beta \leq kn_s$  и подложко-покровных мод  $0 \leq \beta \leq kn_c$ .

В выражении (16) не включено интегрирование по вещественным  $\rho$ , соответствующее мнимым значениям  $\beta = -i|\beta| (0 < |\beta| < \infty)$ , т. е. затухающим модам непрерывного спектра. Последние, как известно, также являются решениями уравнений Максвелла с граничными условиями на поверхностях волновода, однако они не уносят мощность, поэтому обычно не рассматриваются при изучении потерь на излучение [6].

Доля мощности, переносимая  $\mu$ -й направляемой модой в результате преобразования мод при переходе от нелинейного участка НПВ к линейному, составляет

$$P_\mu/P_v = |C_{v\mu}|^2. \quad (19)$$

Доля излучательных потерь мощности при таком преобразовании определяется суммой

$$P_{\text{изл}}/P_s = |C_v^s|^2 + |C_v^{sc}|^2,$$

где

$$|C_v^s|^2 = \int |q_v^s(\rho)|^2 d\rho, \quad (20)$$

$$|C_v^{sc}|^2 = \int |q_v^{sc}(\rho)|^2 d\rho. \quad (21)$$

Выражения (17), (18) легко вычисляются аналитически. При интегрировании в (20) и (21) в указанных выше диапазонах изменения учитываются все волны излучения, выходящие в подложку и воздух под углами от 0 до  $\pi/2$  относительно нормали к плоскости пленки.

### Результаты расчетов

Численные расчеты выполнены для НПВ из стеклообразного  $\text{As}_2\text{S}_3$ , нанесенного на стеклянную подложку:  $n_{f0}=2.4$ ,  $n_s=1.5$ ,  $n_c=1$ ,  $h=1.5$  мкм. Интенсивность возбуждения, приходящаяся на единицу ширины НПВ в направле-

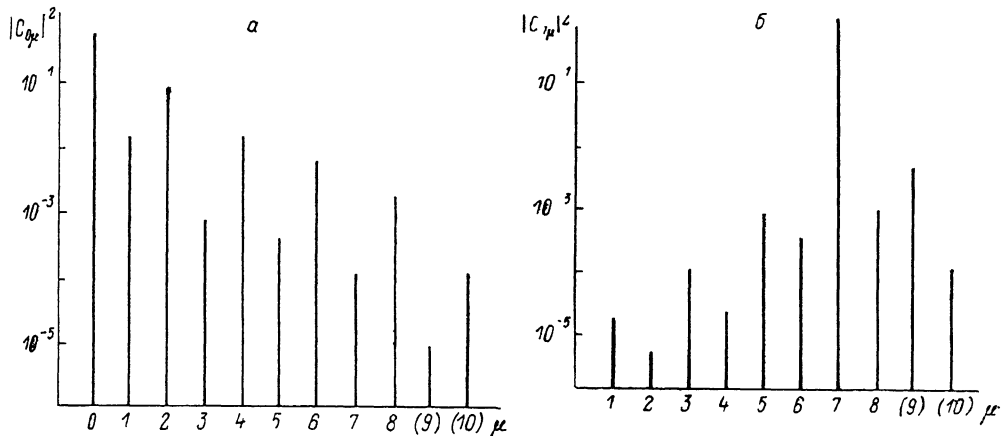


Рис. 2. Распределение мощности между собственными модами на выходе НПВ в отн. ед. при возбуждении  $TE_0$ - (а) и  $TE_7$ -модами (б) мощностью 0.6 Вт/см.

Индексы 9 и 10 относятся к нечетным и четным подложко-покровным модам соответственно.

ния  $y$ ,  $P_s$ , варьировалась в пределах двух порядков величины — от 0.1 до 10 Вт/см. Следует отметить, что при высоких значениях  $P_s$  ( $2-10$  Вт/см)  $(\Delta x_v)/x_v \leqslant 1$  и метод последовательных приближений для нахождения распределения поля  $E^{(N)}$  ( $x$ ) оказывается неприменимым. Предел применимости метода по интенсивности  $P_s$ , естественно, растет с ростом индекса моды  $v$  (ростом  $x_v$ ).

В НПВ данной геометрии с указанными оптическими параметрами могут распространяться всего 9 направляемых  $TE$ -мод:  $v, \mu = 0-8$ . Нами рассчитаны доли мощности, переносимые всеми направляемыми и излучательными модами НПВ при возбуждении любой из направляемых мод в зависимости от интенсивности возбуждения. В несимметричном волноводе ( $n_c \neq n_s$ ) распределение поля не является четной или нечетной функцией  $x$ , поэтому в нем возможна передача мощности между модами разной четности.<sup>1</sup> В симметричном волноводе ( $n_c = n_s$ ) возможно перераспределение мощности между модами только одинаковой четности. В частности, для направляемых мод  $|C_{v\mu}|^2 \neq 0$  только при  $|v - \mu| = 2p$ ,  $p = (0-4)$ .

Рис. 2-5 иллюстрирует наиболее интересные результаты расчетов, описывающие типичные особенности эффекта преобразования мод в НПВ с ФР керров-

<sup>1</sup> Напомним, что под четностью мод несимметричного волновода принято понимать четность мод соответствующего симметричного волновода, у которого  $n_c \rightarrow n_s$  (см., например, [8]).

ского типа. Общей особенностью таких НПВ является малость излучательных потерь в рассмотренном интервале интенсивностей возбуждения (до 0.5 %), причем нелинейные утечки определяются в основном подложко-покровными модами. Доля мощности подложковых мод более чем на 5 порядков ниже по сравнению с подложко-покровными модами.

На рис. 2 в виде гистограмм в логарифмическом масштабе показаны относительные интенсивности направляемых и подложко-покровных мод, возбуждаемых самой низшей  $TE_0$ -волной (а) и одной из высших  $TE_7$ -волной (б) при интенсивности возбуждения 0.6 Вт/см. На рис. 3–5 в двойном логарифмическом масштабе показаны зависимости относительных интенсивностей направляемых мод  $|C_{\nu\mu}|^2$  и подложко-покровных мод  $|C_{\nu\nu}^{sc}|^2$  на выходе НПВ, возбуждаемого

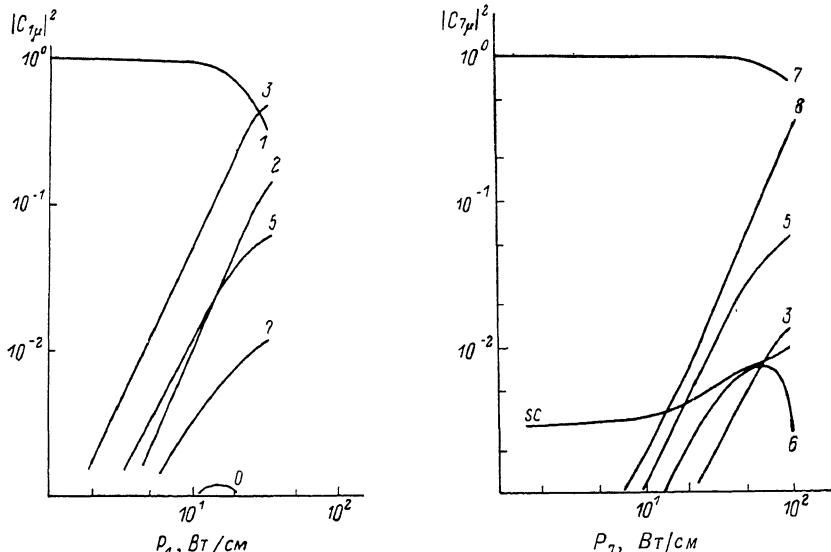


Рис. 3. Зависимость относительных интенсивностей направляемых мод на выходе НПВ от мощности возбуждения  $TE_1$ -модой.

Номера кривых соответствуют индексам мод.

Рис. 4. Зависимость относительных интенсивностей направляемых и излучательных мод на выходе НПВ от мощности возбуждения  $TE_7$ -модой.

Номера кривых соответствуют индексам мод, sc — интенсивность нечетных подложко-покровных мод.

$TE_1$ ,  $TE_7$ - и  $TE_8$ -волнами от уровня возбуждения  $P_\nu$  ( $\nu=1, 7, 8$ ). Из рис. 2–5 видно, что эффект возгорания побочных направляемых мод растет с понижением номера возбуждаемой моды  $\nu$ . Например, при интенсивности  $TE_0$ -волны  $\sim 1$  Вт/см в побочные моды преобразуется до  $\sim 40$  % мощности, в то время как при той же интенсивности  $TE_7$ -волны всего 0.6 %. Потери же на излучение, связанные с ФР, как правило, выше для более высоких мод.

Преобразование мод в НПВ с ФР, как видно из рис. 3–5, является существенно нелинейным процессом по интенсивности возбуждения. Хотя при ФР керровского типа  $\Delta n \sim P_\nu$  для большинства побочных направляемых мод  $|C_{\nu\mu}|^2$  сверхлинейно зависит от  $P_\nu$ , так что волноводная методика оказывается более чувствительной к ФР при возбуждении в области прозрачности, чем традиционные двухлучевые измерения. Исключение составляют ближайшие низшие моды с  $\mu=\nu-1$ , интенсивность которых в некотором интервале  $P_\nu$  сублинейна и далее убывает с ростом  $P_\nu$ : например, кривые 0, 6, 7 на рис. 3, 4 и 5 соответственно.

Передача мощности от возбуждаемой моды к побочным наиболее эффективна для соседних мод той же четности с более высоким индексом, т. е. при  $\mu=\nu+2$ . Так, для  $TE_1$ -моды наиболее интенсивно возгорается  $TE_3$ -мода; правда, доля мощности в  $TE_2$ -моде растет с возбуждением быстрее, чем в  $TE_3$  (рис. 3). При  $P_1 > 2$  Вт/см  $TE_3$ -мода становится сопоставима с  $TE_1$  по интенсивности. В этой области значений  $P_1$  неравенство  $\Delta z_1/z_1 \ll 1$  не выполняется,  $|C_{13}|^2 \sim$

$\sim |C_{11}|^2$  и, как уже отмечалось, расчет теряет точность. При  $|C_{13}|^2 \sim |C_{11}|^2$  следовало бы учитывать вклад в ФР от возгорающейся  $TE_3$ -моды. Аналогично при  $P_s \geq 10$  Вт/см  $\Delta z_7/z_7 \sim 1$  и  $|C_{78}|^2 \sim |C_{77}|^2$  (рис. 4). Характерно, что для  $TE_7$ -моды преобразование в высшую моду другой четности с  $\mu=8$  является наиболее эффективным.

Излучательные потери при ФР в НПВ, как это видно из рис. 4, 5 (кривые  $sc$ ), невелики, при невысоких уровнях возбуждения слабо зависят от  $P_s$  и могут даже убывать с ростом  $P_s$ . Это связано, по-видимому, с особенностями самофокусировки излучения в НПВ. При высоких  $P_s$  излучательные потери растут и тем более резко, чем выше индекс  $\nu$ .

Полученные нами результаты качественно совпадают с экспериментальными данными для НПВ на основе стеклообразного  $As_2S_3$  [2]. На эксперименте при возбуждении  $TE_1$ -моды, действительно, нелинейное возгорание  $TE_2$ -моды оказывалось более эффективным, чем для  $TE_0$ -моды. Этот факт является важным подтверждением рассмотренного фотопрерывательного механизма преобразования мод в НПВ на основе  $As_2S_3$ . Наблюдав-

Рис. 5. То же, что на рис. 4, при возбуждении НПВ  $TE_8$ -модой.

$sc$  — интенсивность четных подложко-покровных мод.

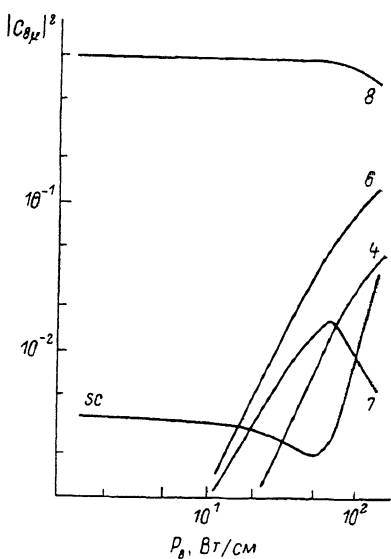
шияся в [2] нелинейные потери связаны, по-видимому, не с излучением из НПВ, а с фотопоглощением в пленке  $As_2S_3$ , которое в настоящем расчете не учитывалось.

Детальное количественное сопоставление расчета с экспериментом для  $As_2S_3$  пока не представляется возможным из-за трудностей реализации одномодового режима ввода излучения в НПВ.

#### Список литературы

- [1] Vincent P., Paraire N., Neviere M. et al. // J. Opt. Soc. Am. B. 1985. Vol. 2. N 7. P. 1106—1116.
- [2] Виноградов А. Ю., Сморгонская Э. А., Шифрин Е. И. // Письма в ЖТФ. 1988. Т. 14. Вып. 7. С. 642—645.
- [3] Мазец Т. Ф., Павлов С. К., Сморгонская Э. А., Шифрин Е. И. // Письма в ЖТФ. 1986. Т. 12. Вып. 13. С. 802—806.
- [4] Калмыкова Н. П., Мазец Т. Ф., Павлов С. К. и др. // Письма в ЖТФ. 1988. Т. 14. Вып. 8. С. 739—742.
- [5] Андриеш А. М., Пономарь В. В., Смирнов В. Л., Миронос А. В. // Квантовая электрон. 1986. Т. 13. № 6. С. 1093—1117.
- [6] Маркузе Д. Оптические волноводы. М.: Мир, 1974. 416 с.
- [7] Ландау Л. Д., Лифшиц Е. М. Механика, М.: Наука, 1988. 116 с.
- [8] Когельник Г. Интегральная оптика / Под ред. Т. Тамира. М.: Мир, 1978. С. 64.

Физико-технический институт  
им. А. Ф. Иоффе АН СССР  
Ленинград



Поступило в Редакцию  
7 июля 1988 г.  
В окончательной редакции  
9 марта 1989 г.